

終局有効幅に関する研究

○東北大学工学部 学生員 内田 裕
東北大学工学部 正員 飯西 茂

1.はじめに

鋼箱形構造、幅広フランジを有する桁構造において、フランジの橋脚部荷応力は shear lag の影響により、初等はり理論による応力を著しく相違するという二重性がある。設計においても、幅広フランジを有する桁へたわみや応力を計算するためには、フランジの有効幅を考慮する必要がある。

この有効幅に関する研究はこれまで数多く報告されている。しかし、これらの研究の多くは弾性範囲内の解析を対象としたもので、終局状態までを含めた研究は見られない。現行の許容応力度設計法に代わる限界状態設計法で、この種の構造物にも導入しようとなれば、終局状態での有効幅を詳細に検討することが急務である。

本研究では、幅広フランジを有する鋼箱構の終局状態における shear lag 現象を数値解析によりシミュレーションする。まず終局状態における有効幅（以下終局有効幅と呼ぶ）に対する境界条件、荷重条件による影響を調べ、弾性範囲内での有効幅（以下弾性有効幅と呼ぶ）と比較検討する。次に終局有効幅に対するフランジ片幅とスパン長との比（B/L 比）、及びフランジの位置による影響を調べ、全幅有効となる B/L 比を求めめる。

2. 解析モデル

本研究の解析対象は図 1(a)に示すようば幅広フランジを有する鋼箱構である。簡単のために単純梁とし、荷重条件はスパン中央の集中荷重および全スパン等分布荷重の 2 種類を取り扱う。

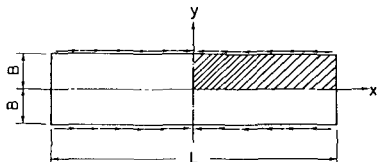
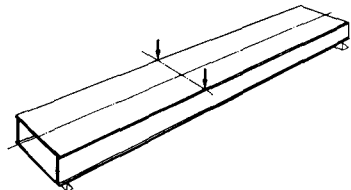
この研究では幅広フランジの shear lag 現象を正確に把握するため、フランジ部分だけを取り出して面内解析した。本解析モデルはより荷重条件の対称性より十分な 1/2 解析対象とする。代表例を図 1(b)に示す。

載荷方法は、図 1(b)の A-A' で示されるウェブ・フランジ接合部に、ウェブからフランジへ伝達される力を、せん断外力として載荷する。荷重分布はせん断力図から求めた。荷重の増分に際して、荷重の作用点から節点を含む要素が降伏した時には、ウェブからフランジへ至る以上の方が伝達されないとして、その節点ごとに次の荷重増分値を零とした。

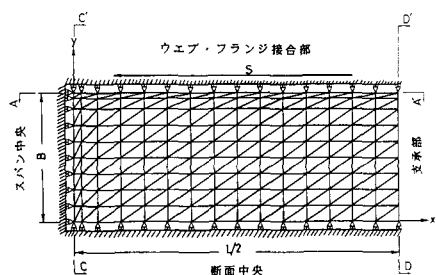
終局状態は、スパン中央で塑性ヒンジが発生したとき、即ち図 1(b)の C-C' で示される近似が全断面にわたって降伏したときに生じている。また、ウェブ・フランジ接合部が全断面にわたって降伏に至れば、ウェブからフランジへ至る以上の方が伝達されなくなり、フランジとての抵抗力はなくなる。よって有限解析では、上記のどちらか一方に至ったときを終局状態とした。

又、支承部でダイヤフラムの剛性を考慮して水平方向の変位を拘束した。

このモデルを用いて解析した弾性有効幅は Moffatt と Dowling¹⁾による算出された値とはほぼ一致した。



(a) 解析対象



(b) 解析モデル

図 1 解析対象と 3D モデル化

3. 解析結果と公考案

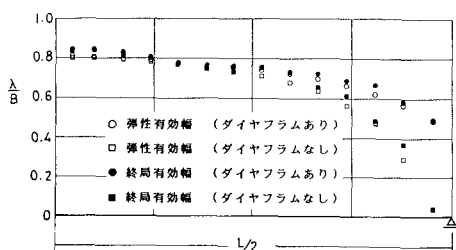
終局状態に至る過程は、等分布荷重では $B/L < 0.125$ 、集中荷重では $B/L < 0.18$ までは、スパン中央で全匣が降伏し終局状態に至る。又、等分布荷重で $B/L > 0.125$ 、集中荷重で $B/L > 0.18$ のとき、ウェブ・フランジ接合部が全匣降伏し終局状態に至る。フランジのあら部分が降伏し始めるとときの荷重を F_u 、終局に至るときの荷重を $F_{u\text{f}}$ とすると、集中荷重では $F_u/F_{u\text{f}} = 2.1 \sim 2.5$ であるのに対し、等分布荷重では $F_u/F_{u\text{f}} = 1.1 \sim 1.3$ と、塑性が早まると急速に終局に至る。これは、集中荷重では 2 の載荷更付近に応力が集中し、その近傍から徐々に降伏していくに対し、等分布荷重では、全体に分散するため、荷重伝達は一骨に降伏し終局に至るためにある。

等分布荷重での終局有効幅は図 2(a)、図 3(a)に見られるように、弹性有効幅とほぼ等しい値が得られた。左に示して集中荷重での終局有効幅は図 2(b)、図 3(b)に見られるように、弹性有効幅と比較し著しい相違が見られる。特にスパン中央附近の有効幅は大きくなり、shear lag は小さく抑えられる。これはスパン中央から支承部へと徐々に降伏し、降伏した段階でウェブから伝達される力の増加が小さくなるためである。

支承部ヘリヤフラムの有無が有効幅にどのよう影響を及ぼすかを比較すると、図 2 に見られるように、支承部から遠い地盤、即ちスパン中央に近いところでは全く影響がない。しかし、支承部に近づくにつれて差が現れる。実際の構造物での有効幅の値はこの中間にあると考えられる。

張出しフランジの有効幅は図 3(△▲)に見られるように箱形フランジの有効幅より約 10% 低くなっている。

終局状態で全幅有効となるのは、等分布荷重では $B/L < 0.125$ 、集中荷重では $B/L < 0.18$ のときである。

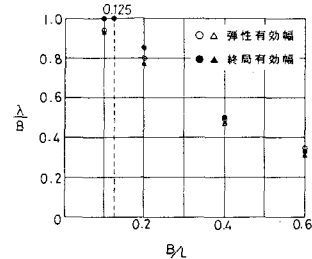


(a) 等分布荷重

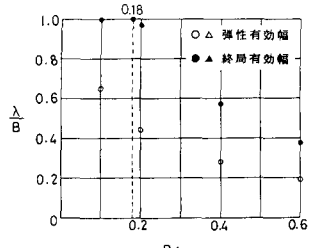


(b) 集中荷重

図 2 スパン方向への有効幅の変化 ($B/L = 0.2$)



(a) 等分布荷重



(b) 集中荷重

図 3 B/L 比と有効幅との関係

参考文献：1) Moffatt, K.R. and Dowling, P.J.: Shear lag in steel box girder bridges, The Structural Engineer, Vol. 53, October 1975, pp. 439 - 448